

УДК 536.2:532.5

## СМЕШАННАЯ КОНВЕКЦИЯ В ПРЯМОУГОЛЬНОЙ ОБЛАСТИ С ЛОКАЛЬНЫМИ ИСТОЧНИКАМИ ВВОДА И ВЫВОДА МАССЫ В УСЛОВИЯХ НЕОДНОРОДНОГО ТЕПЛООБМЕНА

Г.В. Кузнецов, В.И. Максимов

Томский политехнический университет

E-mail: elf@tpu.ru

Представлены результаты математического моделирования конвекции вязкой несжимаемой жидкости в прямоугольной полости с источниками ввода и отвода массы в сопряженной постановке в рамках приближения Буссинеска. Исследованы режимы смешанной конвекции в полости, имеющей две вертикальные и одну горизонтальную стенки конечной толщины, с двумя участками ввода и вывода жидкости, и одной свободной поверхностью. Рассмотрена плоская нестационарная задача в рамках модели Навье-Стокса для жидкой фазы и теплопроводности для твердой фазы. Получены распределения гидродинамических параметров и температур при использовании различных граничных условий на внешнем контуре рассматриваемой полости. Установлено, что даже при умеренном теплоотводе на внешних границах области решения приводит к масштабным изменениям в температурных полях жидкости.

### 1. Введение

При решении многих задач теплоэнергетики, строительства, химических технологий возникает необходимость анализа тепловых режимов объектов, представляющих собой полость, заполненную несжимаемой жидкостью при наличии источников ввода и отвода массы, значимых градиентов температур по всем координатным направлениям и теплообмена по внешнему контуру полости [1, 2]. В таких условиях может реализовываться режим смешанной конвекции, осложненный теплоотводом с внешних границ области решения. Во многих практически значимых случаях этот теплоотвод играет важную роль в формировании теплового режима объекта. До настоящего времени моделирование таких течений в сопряженной постановке [3–6], учитывающей влияние внешних условий на характер течения и температурное поле среды, не проводилось. Целью данной работы является численное моделирование смешанной конвекции вязкой несжимаемой жидкости в прямоугольной полости с источниками ввода и вывода массы в условиях теплообмена с внешней средой в сопряженной постановке.

### 2. Физическая модель

Рассматривается течение несжимаемой вязкой жидкости и теплообмен в полости, имеющей две вертикальные, одну горизонтальную стенки конечной толщины и одну свободную поверхность, с участком ввода и вывода жидкости (рис. 1).

При постановке задачи принимается, что температура вводимой жидкости существенно превышает начальную температуру среды в полости и считается известной. Массовый приход также является известной величиной. На внешних границах области заданы неоднородные граничные условия. Неоднородность обусловлена различными теплофизическими характеристиками внешних сред и условиями теплообмена на границах области решения. Жидкость считается вязкой, теплопроводной, режим течения ламинарным. Отток массы с верх-

ней границы за счет испарения не учитывается. Все границы, кроме участков ввода и отвода массы, считаются непроницаемыми для жидкости. Теплофизические свойства жидкости и твердой фазы не зависят от температуры.

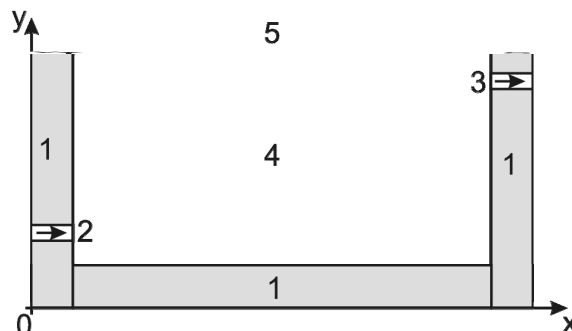


Рис. 1. Область решения задачи: 1) твердая фаза; 2, 3) область ввода и вывода жидкости в полость; 4) полость с жидкостью; 5) свободная поверхность жидкости

Задача рассматривается в нестационарной постановке в связи с необходимостью учета способности материала твердых стенок аккумулировать тепло и значительными перепадами температур между вводимой в полость жидкостью и начальной температурой твердых стенок. В общем случае возможны различные варианты расположения отверстий для ввода и вывода жидкости. Рассматриваются наиболее типичные варианты (рис. 1), реализация которых приводит к формированию наиболее интересных для анализа структур течения жидкости. При постановке задачи также предполагается, что контакт на границах раздела «жидкость — твердая стенка» идеален, а условия теплообмена на внешних границах области решения не зависят от времени.

Особое значение в задаче имеют граничные условия на внешних границах области решения (рис. 1). Эти условия определяют интенсивность теплоотвода с внешних границ и могут оказывать существенное влияние на режим течения жидкости. Соответственно, возможно изменение интенсивности теплопереноса в жидкости. Исходя из анализа различных вариантов реализации рассма-

триваемой схемы на практике можно на правой, левой и нижней границах области решения выставлять граничные условия 1–3 или 4-го рода. Но для корректного использования условий четвертого рода необходимо расширить размеры области решения путем ввода дополнительных подобластей до значений  $x$  и  $y$ , при которых фронт прогрева в любых режимах не доходит до этих внешних границ. Такой подход существенно усложняет алгоритм решение задачи. Использование условий теплоизоляции на внешних границах области решения (рис. 1) не является правомерным, т. к. в реальных условиях при различных градиентах температур всегда осуществляется сток тепла во внешнюю среду с этих границ. По этим причинам для анализа были выбраны граничные условия первого и второго рода на границах внешнего контура.

Ещё одна особенность рассматриваемой задачи заключается в граничных условиях на свободной поверхности, как для уравнения энергии, так и для уравнений движения. На практике эти условия не могут быть определены точно. При постановке задачи математического моделирования решение сопряженной задачи и на этой границе создает практически непреодолимые препятствия в связи с трудностями описания свободноконвективного течения газовой (как правило, воздушной) среды вблизи свободной поверхности движущейся жидкости. Примеров реализации таких задач пока нет. По этим причинам область решения в рассматриваемом случае ограничивалась сверху свободной поверхностью. Предполагалось, что на этой границе реализуются условия выполнения граничных условий третьего рода для уравнения энергии, а также равенство сдвиговых напряжений в газе и жидкости на свободной поверхности. В такой интерпретации постановка задачи предусматривала возможность образования на этой поверхности элементов циркуляционных течений, обусловленных как естественной, так и вынужденной конвекцией.

При решении свободно-конвективных задач теплообмена чаще всего на внешних границах используются условия первого рода для уравнения энергии [7–10]. Такой подход удобен при численной реализации и в целом не выглядит противоречивым. Но анализ типовых примеров подобных задач показывает, что условия первого рода в целом почти адекватны условиям теплоизоляции. По этой причине они не соответствуют реальным режимам теплообмена на практике и могут быть использованы только в качестве условий для модельных задач. Но в этом качестве они являются элементами эталонных задач, решения которых играют роль своеобразных «измерительных приборов» при оценке тех или иных значимых физических эффектов на внешних границах областей решения. В данной работе оценка масштабности влияния теплоотвода с внешнего контура также проводилась путем сравнения с результатами решения такой «эталонной» задачи с граничными условиями пер-

вого рода на вертикальных (за исключением участков ввода и вывода жидкости) границах и на нижней («несвободной») границе.

Следует также отметить, что моделирование теплоотвода с трех внешних («твердых») границ области решения проводилось путем использования граничных условий второго рода. При этом величина отводимого теплового потока  $q$  являлась параметром задачи и выбиралась исходя из реального диапазона его возможного изменения. Такой прием позволяет не расширять область решения до размеров, при которых с одной стороны было бы правомерным применение условий четвертого рода на границах сопряжения разнородных сред. Но с другой стороны такое расширение области анализа делало практически невозможным сам численный анализ рассматриваемой нелинейной задачи. Выбор же значений  $q$  всегда может быть проведен с требуемой для практики или для обоснования достоверности результатов теоретического анализа точностью. Так, например, такой выбор может быть реализован по итерационной схеме путем расчета на каждой последующей итерации величины  $q$ , исходя из полученного на предыдущей итерации градиента температур вблизи границы. Кроме этого достаточно точно могут быть определены величины  $q$ , исходя из исходных данных каждой задачи. Последнее создает объективные условия для получения достоверных результатов.

### 3. Математическая модель и метод решения

Постановка задачи по пространственным координатам является двухмерной и описывается системой нестационарных уравнений Навье-Стокса для жидкой фазы и уравнением теплопроводности для твердой фазы [7, 8].

Для приведения системы уравнений к безразмерному виду использовались следующие соотношения:

$$X = \frac{x}{L}, \quad Y = \frac{y}{L}, \quad \tau = \frac{t}{t_0}, \quad U = \frac{u}{V_{in}}, \quad V = \frac{v}{V_{in}},$$

$$\Theta = \frac{T - T_0}{\Delta T}, \quad \Psi = \frac{\psi}{\psi_0}, \quad \Omega = \frac{\omega}{\omega_0},$$

$$\Delta T = T_{in} - T_0, \quad \psi_0 = V_{in} L, \quad \omega_0 = \frac{V_0}{L},$$

где  $x, y$  — координаты;  $u, v$  — скорости по осям  $x, y$ ;  $X, Y$  и  $U, V$  — безразмерные координаты и скорости, соответствующие  $x, y$  и  $u, v$ ;  $L$  — длина полости по оси  $x$ ; — масштаб времени;  $\tau$  — безразмерное время;  $V_{in}$  — масштаб скорости (скорость входного потока);  $\Theta$  — безразмерная температура;  $T_0$  — температура жидкости и твердого тела в начальный момент времени;  $T_{in}$  — температура входного потока;  $\psi$  — функция тока и  $\psi_0$  — ее масштаб;  $\Psi$  — безразмерный аналог  $\psi$ ;  $\omega$  — вихрь скорости и  $\omega_0$  — его масштаб;  $\Omega$  — безразмерный аналог  $\omega$ .

Соответственно безразмерные уравнения Навье-Стокса в приближении Буссинеска в пере-

менных «вихрь скорости – функция тока – температура» для жидкой фазы (режим смешанной конвекции) и уравнение теплопроводности для твердой фазы будут иметь вид:

$$\frac{\partial \Omega}{\partial \tau} + U \frac{\partial \Omega}{\partial X} + V \frac{\partial \Omega}{\partial Y} = \frac{1}{\text{Re}} \left( \frac{\partial^2 \Omega}{\partial X^2} + \frac{\partial^2 \Omega}{\partial Y^2} \right) + \frac{\text{Gr}}{\text{Re}^2} \left( \frac{\partial \Theta}{\partial X} \right), \quad (1)$$

$$\frac{\partial \Theta}{\partial \tau} + U \frac{\partial \Theta}{\partial X} + V \frac{\partial \Theta}{\partial Y} = \frac{1}{\text{Re} \cdot \text{Pr}} \left( \frac{\partial^2 \Theta}{\partial X^2} + \frac{\partial^2 \Theta}{\partial Y^2} \right), \quad (2)$$

$$\frac{\partial^2 \Psi}{\partial X^2} + \frac{\partial^2 \Psi}{\partial Y^2} = \Omega, \quad (3)$$

$$\frac{\partial \Theta}{\partial \text{Fo}} = \frac{\partial^2 \Theta}{\partial X^2} + \frac{\partial^2 \Theta}{\partial Y^2}, \quad (4)$$

здесь  $\text{Gr} = \frac{g \beta L^3 \Delta T}{\nu^2}$  – число Грасгофа;  $\beta$  – температурный коэффициент объемного расширения;  $g$  – ускорение, создаваемое массовыми силами;  $\text{Re} = \frac{2VL}{\nu}$  – число Рейнольдса;  $\text{Pr} = \frac{\nu}{a}$  – число Прандтля;  $\text{Fo} = \frac{at_0}{L^2}$  – число Фурье;  $a$  – коэффициент температуропроводности.

#### Начальные условия:

$$\Psi(X, Y, 0) = 0,$$

$$\Omega(X, Y, 0) = 0,$$

$$\Theta(X, Y, 0) = 0.$$

#### Граничные условия:

- на внешнем контуре рассматриваемой области (кроме свободной поверхности жидкости) в одном варианте задаются граничные условия первого рода  $\Theta=0$ , а в другом – второго рода  $\frac{\partial \Theta}{\partial n} = \text{Ki}$ ;

- на свободной поверхности жидкости:

$$\frac{\partial \Psi}{\partial X} = 0, \quad \frac{\partial^2 \Psi}{\partial Y^2} = 0,$$

$$\frac{\partial \Theta_f(X, Y)}{\partial Y} = \text{Bi} \cdot \Theta_f(X, Y) + \text{Bi} \cdot \frac{T_0 - T_e}{T_{in} - T_0};$$

- на внутренних границах раздела твердой и жидкой фаз, параллельных осям  $OY(OX)$ :

$$\Psi = 0, \quad \frac{\partial \Psi}{\partial X(Y)} = 0,$$

$$\begin{cases} \Theta_w = \Theta_f \\ \frac{\partial \Theta_w}{\partial X(Y)} = \lambda_{w,f} \frac{\partial \Theta_f}{\partial X(Y)} \end{cases};$$

- на участке ввода жидкости:

$$\Theta = 1,$$

$$\frac{\partial \Psi}{\partial Y} = 1;$$

- на участке оттока жидкости:

$$\frac{\partial \Theta(X, Y)}{\partial Y} = 0,$$

$$\frac{\partial \Psi}{\partial Y} = 1;$$

здесь  $\text{Ki} = \frac{qL}{\lambda_w(T_{in} - T_0)}$  – число Кирпичева;  $\text{Bi} = \frac{\alpha L}{\lambda}$

– число Био;  $n$  – координата по нормали к рассматриваемой поверхности;  $\alpha$  – коэффициент теплообмена между внешней средой и рассматриваемой областью решения по границе  $y=0$ ;  $T_e$  – температура окружающей среды;  $\lambda_w, \lambda_f$  – коэффициенты теплопроводности твердой и жидкой фаз;  $\lambda_{w,f}$  – относительный коэффициент теплопроводности.

Задача (1–4) с соответствующими граничными и начальными условиями решена методом конечных разностей [7].

Уравнения решались последовательно, каждый временной шаг начинался с вычисления поля температуры в газовой и в твердой фазах, затем решались уравнения Пуассона (3) для векторного потенциала. Далее определялись граничные условия для компонент вектора завихренности и решались уравнения движения.

При решении системы уравнений (1–3) в качестве начального приближения использовались стационарные решения, полученные в задачах при малых числах Рейнольдса.

#### 4. Анализ результатов численного моделирования

Численные исследования были проведены при следующих значениях:

- безразмерных величин:  $\text{Pr}=7,1, 100 \leq \text{Re} \leq 1000, \text{Gr} \leq 10^5$ ;
- температур  $T_0=293 \text{ K}, 300 \leq T_w \leq 343 \text{ K}, 273 \leq T_e \leq 293 \text{ K}$ .

Диапазоны изменения безразмерных величин и размерных характеристик выбирались исходя из следующих условий. Первое – соответствие диапазонам изменения параметров в реальных вариантах реализации таких систем, как «жидкость – твердое тело – газообразная внешняя среда». Второе – реальные масштабы существования как вынужденной, так и естественной конвекции без вырождения какого-либо из механизмов теплопереноса. Кроме того, контролировались условия геометрического подобия реальных систем и используемой при математическом описании процесса модели. Также рассматривались не самые благоприятные для реализации «сопряженного» теплопереноса [8] диапазоны изменения как размерных величин, так и безразмерных комплексов. Так, например, увеличение температуры вводимой в рассматриваемую полость жидкости, например, воды на  $20...30^\circ$  могло существенно изменить (при прочих равных условиях) соотношение между характерными временами реализации процесса вынужденной и естественной конвекции, но экстремальные варианты не рассматривались.